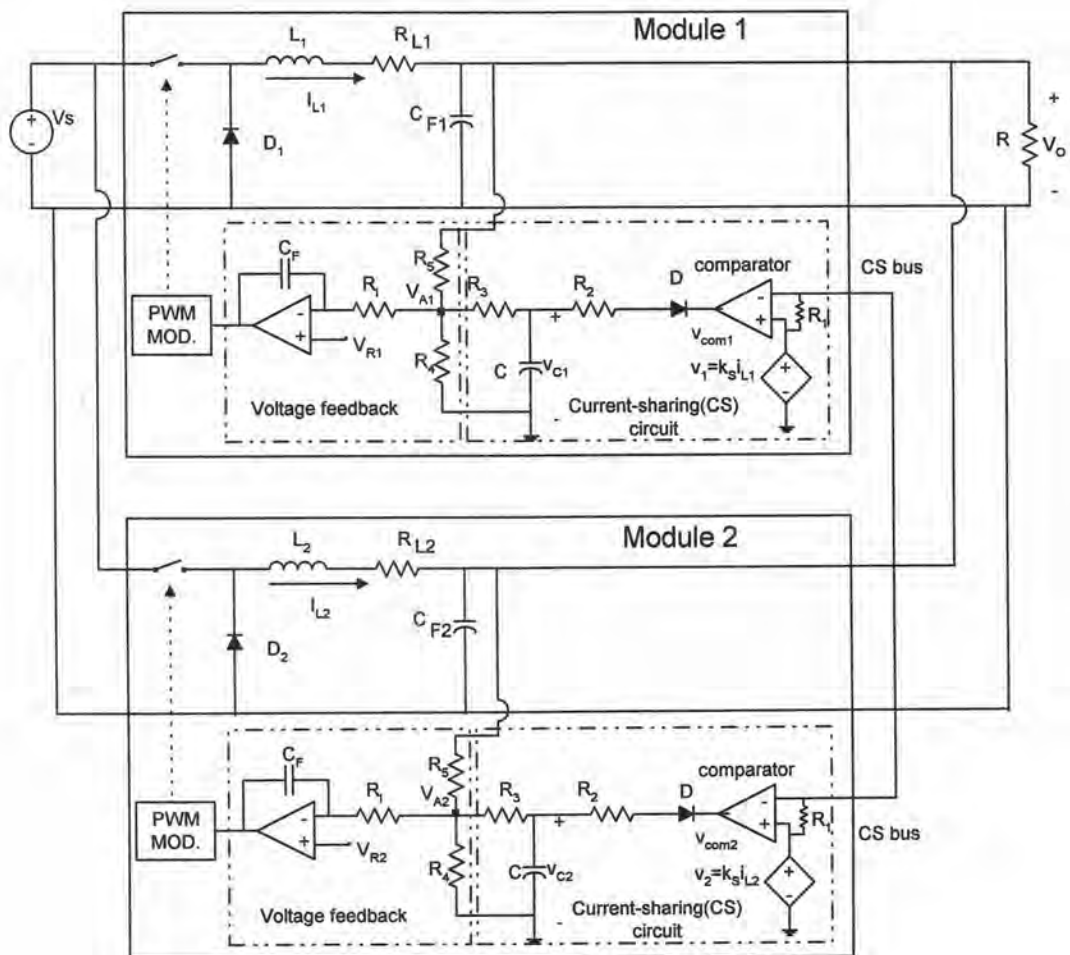


บทที่ 3

การขนานแหล่งจ่ายไฟตรง

การขนานแหล่งจ่ายไฟตรงทำได้หลายวิธี (Choi, Cho, Ridley and Lee, 1990; Siri and Lee, 1990; Siri, Lee and Wer, 1991; Jovanovic, Crow and Yi, 1994) อย่างไรก็ตามการควบคุมแบบเดโมครติก (democratic) (Jovanovic, Crow and Yi, 1994) เป็นวิธีที่น่าสนใจเนื่องจากมีข้อดีหลายประการเช่น มีโครงสร้างที่ง่าย มีความเข้มแข็งในเสถียรภาพ (robustness) และไม่ไวต่อสัญญาณรบกวน

การควบคุมแบบนี้ได้มีการวิเคราะห์แล้ว สำหรับการขนานของวงจรทอนระดับ (Siriwat Laohaket and Gothom Arya, 1997) ดังแสดงในรูปที่ 3.1



รูปที่ 3.1 การขนานแบบเดโมครติกของวงจรทอนระดับ

3.1 หลักการทำงาน

จากรูปที่ 3.1 แต่ละโมดูล (module) ประกอบด้วย 3 ส่วน : วงจรกำลัง, วงจรป้อนกลับแรงดัน (voltage feedback), และวงจรป้อนกลับกระแส (current-sharing (CS) circuit) ในรูปวงจรเปรียบเทียบ (comparator) ทำหน้าที่เปรียบเทียบแรงดันที่ถูกควบคุมโดยกระแสโหลด ($v_1 = k_s i_{L1}$ และ $v_2 = k_s i_{L2}$) กับ แรงดันที่ CS bus (V_{CS}) ซึ่งเป็นค่าเฉลี่ยของ V_1 และ V_2 (สมการ (3.1)) สัญญาณออกของวงจรเปรียบเทียบ v_{com1} และ v_{com2} จะเป็นรูปคลื่นสี่เหลี่ยม ดังรูปที่ 3.2 ซึ่งจะมีเฟสต่างกัน 180° เมื่อ v_{com} อยู่ในระดับสูง ไดโอด D จะ 'off' ดังนั้น C จะถูกอัดประจุด้วยค่าคงตัวเวลา $= CR_3$ แต่เมื่อ v_{com} อยู่ในระดับต่ำ C จะคายประจุผ่านไดโอด D ด้วยค่าคงตัวเวลา $= C(R_2/R_3)$ แรงดัน v_c ที่ได้จะไปรวมกับ v_o ที่จุด V_A (รูปที่ 3.1) แล้วผ่านวงจรคูล์ค่าซึ่งเป็นวงจรอินทิเกรเตอร์ สัญญาณออกของวงจรคูล์ค่าจะถูกนำไปควบคุมสวิตช์โดยผ่านบล็อก PWM MOD. ได้กระแสต้านออกของแต่ละโมดูลดังในรูป 3.2 ซึ่งมีองค์ประกอบไฟสลับต่างเฟสกัน 180° อันเป็นผลจากการต่างเฟสของ v_{com1} และ v_{com2} ส่วนค่าเฉลี่ยในกรณีนี้จะเท่ากันเนื่องจากแรงดันเฉลี่ยของ v_{c1} และ v_{c2} เท่ากัน

การวิเคราะห์ห้วงจรสมมูลของการอัดและคายประจุในรูปที่ 3.3 โดยใช้หลักการสมมูลแอมแปร์-วินาที และสมมุติว่า V_c มีค่าคงที่ จะได้ความสัมพันธ์ระหว่างแรงดันของตัวเก็บประจุเฉลี่ย $V_c(av)$ และวัฏจักรงาน D_{CS} ของสัญญาณ V_{com} ดังสมการ (3.2)

$$V_{CS} = \frac{v_1 + v_2}{2} = \frac{k_s(i_{L1} + i_{L2})}{2} \quad (3.1)$$

$$V_{c1}(av) = \frac{V_R}{1 + \frac{R_3}{R_2}(1 - D_{CS})} + \frac{V_F(1 - D_{CS})}{\frac{R_2}{R_3} + (1 - D_{CS})} \quad (3.2)$$

ซึ่ง D_{CS} คือวัฏจักรงานของ v_{com1} , $D_{CS}' = 1 - D_{CS}$ และ V_F คือแรงดันตกไปข้างหน้าของไดโอด

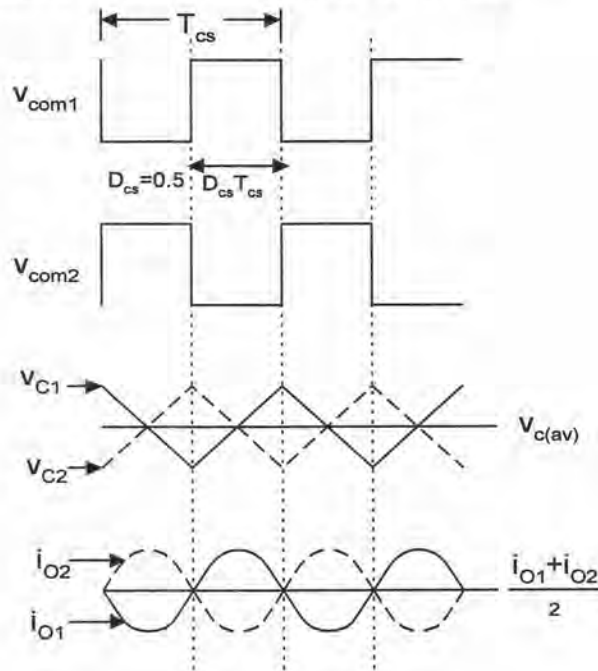
เราอาจประมาณค่าเฉลี่ยของแรงดันที่ด้านเข้าของวงจรคูล์ค่า (จุด V_{A1} , V_{A2}) ว่ามีค่าเท่ากับ V_R และจากวงจรสมมูลเทวินินและทฤษฎีบทการทับซ้อน จะได้ความสัมพันธ์ดังสมการ (3.3)

$$v_A = V_R = \frac{\beta V_o R_3}{R_3 + R_{th}} + \frac{v_c(av) R_{th}}{R_3 + R_{th}} \quad (3.3)$$

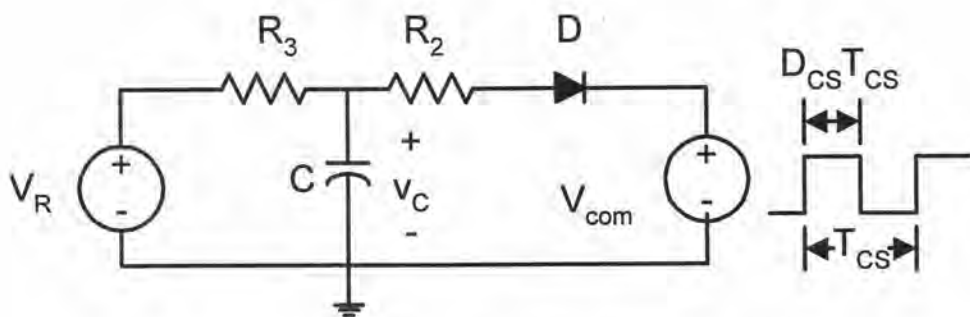
$$\text{โดยที่ } \beta = R_4 / (R_4 + R_5) \quad \text{และ} \quad R_{th} = R_4 R_5 / (R_4 + R_5)$$

จากสมการ (3.3) ถ้า V_{R1}, R_4, R_5 , และ R_3 ของวงจรแปรผันแต่ละตัวเท่ากัน $v_{C1} (av)$ จะมีค่าเท่ากับ $v_{C2} (av)$ และจากสมการ (3.2) จะได้ว่า $D_{cs1} = D_{cs2} = 0.5$ ตามที่แสดงในรูปที่ 3.2

ถ้า $V_{R1} \neq V_{R2}$ แล้วสมการ (3.3) จะให้ค่า $v_{C1} (av)$ ไม่เท่ากับ $v_{C2} (av)$ และจากสมการ (3.2) จะพบว่า $D_{cs1} \neq D_{cs2} \neq 0.5$ ทำให้มีความคลาดเคลื่อนในการแบ่งจ่ายกระแส (current-sharing error) ซึ่งในทางปฏิบัติควรหลีกเลี่ยง ดังนั้นจะไม่พิจารณากรณีนี้



รูปที่ 3.2 รูปคลื่นของ 2 โมดูลเมื่อ $V_{R1} = V_{R2}$



รูปที่ 3.3 วงจรสมมูลของการอัดและคายประจุ C ในวงจร CS

3.2 วงจรสมมูลสัญญาณขนาดเล็ก

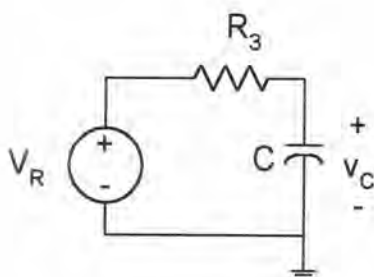
ในการหาวงจรมูลของการป้อนกลับกระแส (current-feedback equivalent circuit) เรา
จะใช้วิธีการเฉลี่ย และทำให้เป็นเชิงเส้น (โคทม อาริยา, 2537)

เมื่อ V_{com} อยู่ในระดับสูงหรือมีสถานะเป็น 'H' รูปลักษณะของวงจรรูปที่ 3.3 จะเป็นดัง
รูปที่ 3.4 ก) เราสามารถเขียนสมการเชิงอนุพันธ์ได้ดังนี้

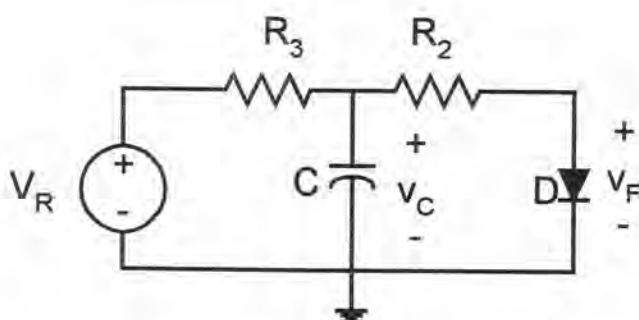
$$\frac{dv_c}{dt} = \frac{V_R - v_c}{CR_3} \quad (3.4)$$

และอีกสถานะเมื่อ V_{com} อยู่ในระดับต่ำหรือมีสถานะเป็น 'L' รูปลักษณะของวงจรจะเป็นดังแสดง
รูปที่ 3.4 ข) ซึ่งนำมาเขียนสมการเชิงอนุพันธ์ดังในสมการ (3.5)

$$\frac{dv_c}{dt} = \frac{1}{C} \left[\frac{V_R}{R_3} + \frac{V_F}{R_2} - \frac{v_c}{R_3 // R_2} \right] \quad (3.5)$$



ก) $0 < t < D_{CS}T_{CS}$: v_{com} มีสถานะ 'H'



ข) $D_{CS}T_{CS} < t < T_{CS}$: v_{com} มีสถานะ 'L'

รูปที่ 3.4 รูปลักษณะของวงจรป้อนกลับกระแส

จากสมการ (3.4) และ(3.5) หาสมการเฉลี่ยได้เป็น

$$\frac{dv_C(av)}{dt} = \frac{1}{C} \left[\frac{V_R}{R_3} + \frac{D'_{CS} V_F}{R_2} - \frac{v_C(av)}{R_{eq}} \right] \quad (3.6)$$

โดยที่ $R_{eq} = R_3 // (R_2 / D'_{CS})$

เมื่อทำสมการ (3.6) ให้เป็นเชิงเส้นสำหรับสัญญาณขนาดเล็ก จะได้

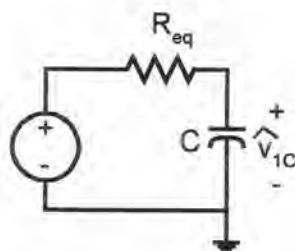
$$\frac{d\hat{v}_C}{dt} = \frac{1}{C} \left[-\frac{\hat{v}_C}{R_{eq}} \right] \quad (3.7)$$

ในทางปฏิบัติ ควรให้ $R_3 \gg R_2$ (Jovanovic , Crow, and Yi ,1994) ดังนั้น C ในวงจร CS จะถูกอัดประจุด้วยกระแสเกือบคงตัวเท่ากับ $\frac{(V_R - V_C(av))}{R_3}$ และคายประจุแบบเอกซ์โพเนนเชียล (exponential) ด้วยค่าคงตัวเวลาเท่ากับ $C(R_3 // R_2)$ อย่างไรก็ตามการกระเพื่อมของแรงดัน V_C สามารถประมาณเป็นรูปคลื่นสามเหลี่ยม ซึ่งมีลักษณะสมบัติดังนี้

แรงดันค่ายอดถึงยอด $V_{c_{pp}} = \frac{V_R - V_C(av)}{CR_3} \times \frac{T_{CS}}{2} \quad (3.8)$

แอมพลิจูดที่ความถี่หลักมูล $V_{1cm} = \frac{4V_{c_{pp}}}{\pi^2} \quad (3.9)$

วงจรสมมูลสัญญาณขนาดเล็กในรูปที่ 3.5 ได้จากสมการ (3.7) และการใช้หลักการฟังก์ชันบรรยาย (describing function) ที่ว่าระบบควบคุมซึ่งเป็นวงจรผ่านต่ำสามารถกรองสัญญาณ harmonic ออกหมดจนเหลือเพียงองค์ประกอบหลักมูล (Gupta ,1987)



รูปที่ 3.5 วงจรสมมูลสัญญาณขนาดเล็กของวงจรป้อนกลับกระแส (CS)

สัญญาณ \hat{v}_{IC} เป็นประกอบหลักมูลของ \hat{v}_C และมีเฟสเซอร์ดังนี้

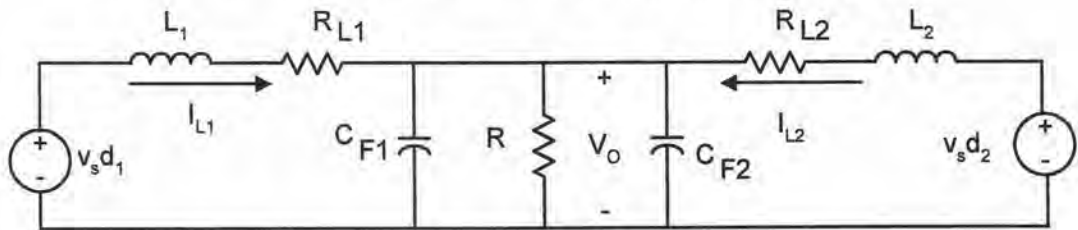
$$\hat{V}_{IC} = V_{icm} \angle \tan^{-1}(\omega/\omega_c) \quad (3.10)$$

$$\omega_c = \frac{1}{R_{eq}C} \quad (3.11)$$

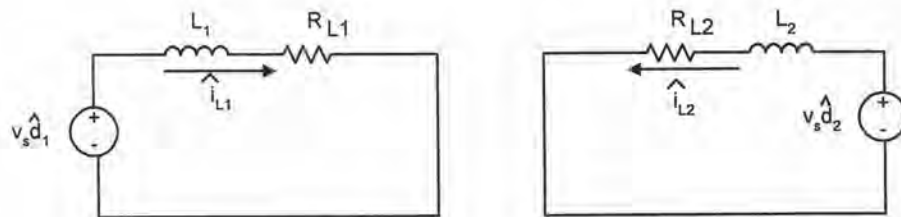
แบบจำลองเฉลี่ยของวงจรด้านออกของวงจรทอนระดับสองวงจรขนานกัน แสดงในรูปที่ 3.6 กรณีนี้เราละเลยความต้านทานของเส้นลวดซึ่งต่อระหว่างแหล่งจ่ายไฟตรงกับโหลด และสมมติว่า

- ก) ความไม่สมมาตรของวงจรกำลังเกิดจากความต้านทานในตัวเหนี่ยวนำเพียงอย่างเดียว
- ข) การคงค่าแรงดันของวงจรคุมค่าดีมากจนกระทั่ง V_o คงที่ หรือ $\hat{v}_o = 0$

ดังนั้นแบบจำลองสัญญาณขนาดเล็กของวงจรทอนระดับจะเป็น ดังรูปที่ 3.7



รูปที่ 3.6 วงจรเฉลี่ยของวงจรทอนระดับในรูปที่ 3.1



รูปที่ 3.7 แบบจำลองสัญญาณขนาดเล็กของรูปที่ 3.6

ฟังก์ชันโอนย้ายของวงจรถอนระดับคือ

$$\frac{\hat{i}_L}{\hat{d}} = \frac{(V_s/R_L)}{1 + \frac{s}{\omega_L}} \tag{3.12}$$

เมื่อ $\omega_L = R_L / L$

3.3 การคำนวณหาความถี่ ω_{CS} และการหาแอมพลิจูดของกระแสออสซิลเลต \hat{I}_L

รูปที่ 3.8 แสดงแผนภาพบล็อกของวงจรถอนระดับของ 1 โมดูล เพื่อให้ไม่มีความคลาดเคลื่อนของแรงดันด้านออก และ วงจรคุมค่ามีความง่าย เราเลือกวงจรถุมค่าซึ่งเป็นอินทิเกรเตอร์ (ดูรูปที่ 3.1) และมีฟังก์ชันโอนย้ายดังนี้

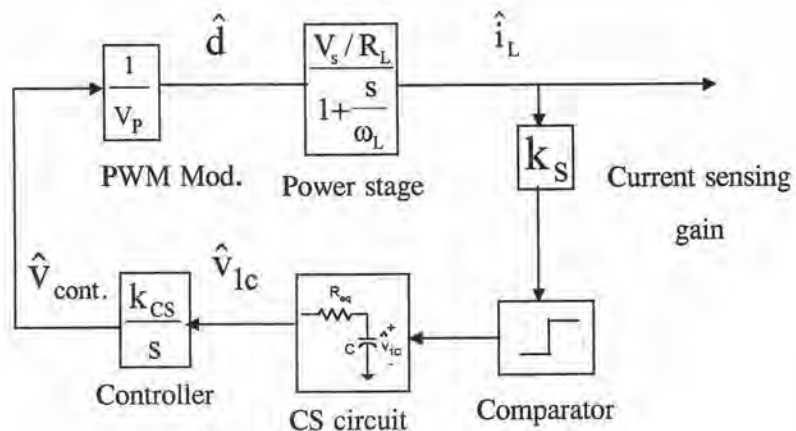
$$\frac{\hat{V}_{cont}}{\hat{V}_{IC}} = \frac{k_{CS}}{s} \tag{3.13}$$

$$k_{CS} = \frac{-R_{th}}{R_{th} + R_3} \times \frac{1}{R_F C_F} \quad \text{และ} \quad R_F = R_1 + R_{th} // R_3 \tag{3.14}$$

ความถี่ของการออสซิลเลต ω_{CS} ของกระแสด้านออกของวงจรถอนระดับ (ดูรูปที่ 3.2) ถูกกำหนดโดยเฟสของวงจรถอนระดับซึ่งจะเท่ากับ 180° ที่ความถี่นี้ นั่นคือ

$$\tan^{-1} \frac{\omega_{CS}}{\omega_c} + \frac{\pi}{2} + \tan^{-1} \frac{\omega_{CS}}{\omega_L} = \pi \tag{3.15}$$

หรือ
$$\omega_{CS} = 2\pi f_{CS} = \frac{2\pi}{T_{CS}} = \sqrt{\omega_c \omega_L} \tag{3.16}$$



รูปที่ 3.8 แผนภาพบล็อกของวงจรถอนระดับ

แอมพลิจูดของกระแสตัวเหนี่ยวนำ \hat{I}_L สามารถคำนวณได้จากวงจรแบบของรูปที่ 3.8
ดังนี้

$$\hat{I}_L = V_{lcm} \times \frac{k_{CS}}{\omega_{CS}} \times \frac{1}{V_P} \times \frac{V_S / R_L}{\sqrt{1 + \frac{\omega_{CS}^2}{\omega_L^2}}} \quad (3.17)$$

สมการ (3.17) เป็นกรณีเมื่อ $R_{L1} \approx R_{L2}$ แต่เมื่อ $R_{L1} \neq R_{L2}$ \hat{V}_0 จะไม่เท่ากับ 0 หรือรูป
คลื่น v_0 จะมีความไม่สมมาตร ซึ่งจะชดเชยความต่างเฟสระหว่างวงจรกำลังทั้งสอง เพื่อให้
วงจรรอบกระแสของแต่ละโมดูลมีเฟสเป็น 180° ดังแสดงในผลการซิมูเลตรูปที่ 3.10

ความถี่ของการออสซิลเลต ω_{CS} ในกรณีใหม่สามารถประมาณค่าได้ดังนี้

$$\omega_{CS} \approx \sqrt{0.5\omega_C(\omega_{L1} + \omega_{L2})} \quad (3.18)$$

เมื่อ $R_{L1} \neq R_{L2}$ อัตราขยายวงจรรอบกระแสมีขนาดแตกต่างกัน แต่ในรูปที่ 3.10
แอมพลิจูด \hat{I}_{L1} และ \hat{I}_{L2} จะเท่ากัน ทั้งนี้เพราะ v_{A1} และ v_{A2} (ดูในรูปที่ 3.1) มีแอมพลิจูดแตกต่าง
กันดังรูปที่ 3.10 ส่วนแอมพลิจูด \hat{I}_L สามารถประมาณได้โดยแทน ω_L ลงในสมการ(3.17)
ด้วยค่าเฉลี่ยซึ่งเท่ากับ $\omega_{L(av)} = 0.5(\omega_{L1} + \omega_{L2})$

3.4 ผลการซิมูเลต

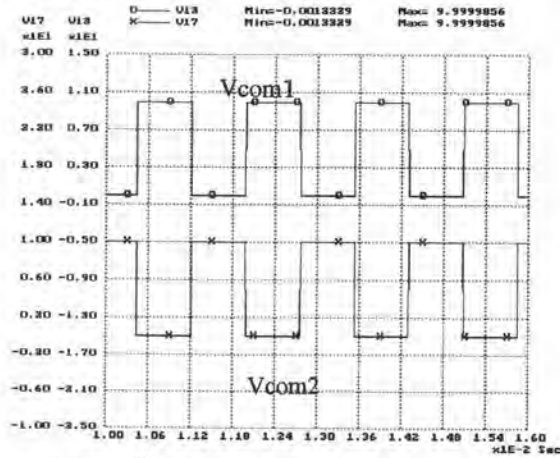
วงจรทอนระดับ 2 โมดูล มีกำลังออกตัวละ 50 W แรงดันเข้า 8 V แรงดันออก 5 V
ความถี่สวิตซ์ 100 kHz มีค่าพารามิเตอร์ของวงจรคือ $L_1 = L_2 = 5 \mu H$, $R_{L1} = R_{L2} = 40 m\Omega$, $C_{F1} =$
 $C_{F2} = 100 \mu F$, $R = 0.25 \Omega$, $R_1 = 10 k\Omega$, $C_F = 5 nF$, $R_4 = 10.9 k\Omega$, $R_5 = 10 k\Omega$, $R_1 = 1 k\Omega$, $R_2 =$
 $10 k\Omega$, $R_3 = 100 k\Omega$, $C = 30 nF$, $V_P = 10 V$, $V_F = 0.03 V$ (ในทางปฏิบัติใช้ LM311 (Jovanovic,
Crow and Yi,1994)) และ $V_{R1} = V_{R2} = 2.5 V$ R_{cq} ซึ่งได้จากสมการ(3.6) คือ $16.67 k\Omega$

จากสมการ (3.8), (3.9), (3.16), และ (3.17) เราคำนวณได้ว่า $f_{CS} = 630 Hz$, $V_{cpp} = 0.54$
V, $V_{lcm} = 0.22 V$ and $\hat{I}_L = 0.61 A$

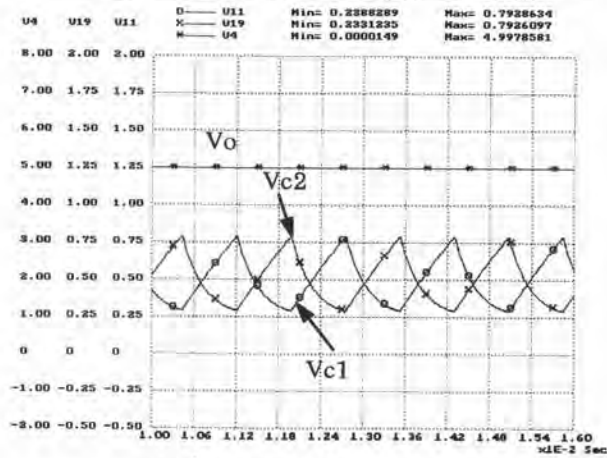
เพื่อให้การซิมูเลตได้ผลรวดเร็วขึ้น จึงได้ใช้วงจรเฉลี่ย(Tsai, 1993)ของวงจร ทอนระดับ
(รูปที่ 3.6) แทนวงจรทอนระดับของรูปที่ 3.1 แล้วทำการซิมูเลตด้วยโปรแกรม LEK ผลลัพธ์
แสดงดังรูปที่ 3.9 ซึ่งมี $f_{CS} = 650 Hz$ และ $\hat{I}_L = 0.6A$ พบว่าผลลัพธ์ใกล้เคียงกับผลการคำนวณข้าง
ต้น

เมื่อขนาน 3 วงจรแปลงผันซึ่งสมมาตรกัน จะได้แอมพลิจูด \hat{I}_L และความถี่ f_{CS} ค่าเดิม
แต่เฟสของ i_{L1} , i_{L2} และ i_{L3} จะต่างกัน 120° แทนที่จะเป็น 180° (ดูรูปที่ 3.11) ซึ่งสอดคล้องกับ
การวิเคราะห์เบื้องต้น

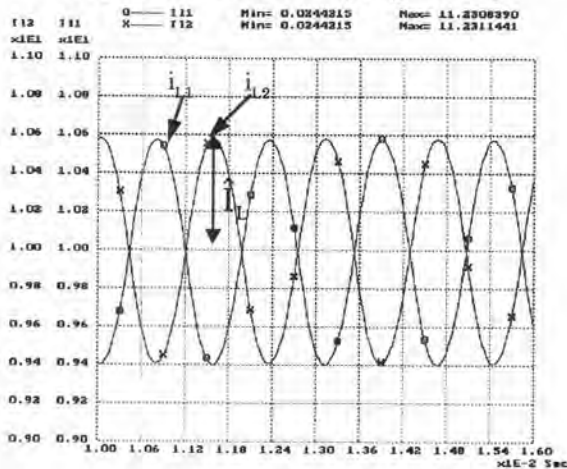
ในกรณีที่ $R_{L1} \neq R_{L2}$ ($R_{L1} = 40 \text{ m}\Omega$, $R_{L2} = 10 \text{ m}\Omega$) จะได้รูปคลื่นของการซึ่มเกต ดังรูปที่ 3.10 ซึ่งจากรูปจะได้ $f_{CS} = 500 \text{ Hz}$ และ $\hat{I}_L = 1.4 \text{ A}$ โดยค่าที่ได้จากการคำนวณโดยใช้สมการ (3.18) และ (3.17) คือ $f_{CS} = 500 \text{ Hz}$ และ $\hat{I}_L = 1.56 \text{ A}$



ก) รูปคลื่นของแรงดัน v_{com1} และ v_{com2}

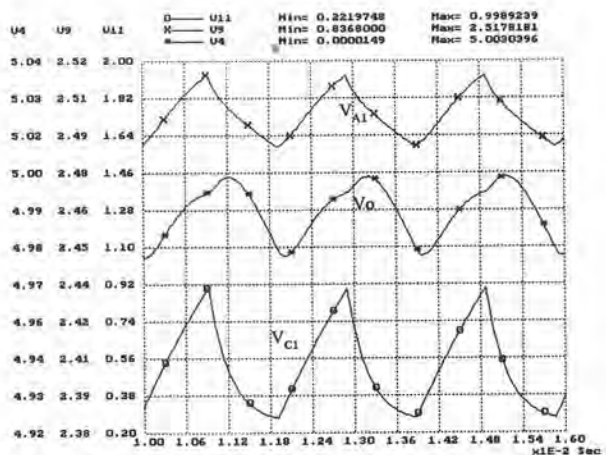


ข) รูปคลื่นของแรงดัน v_{c1} , v_{c2} และ v_o

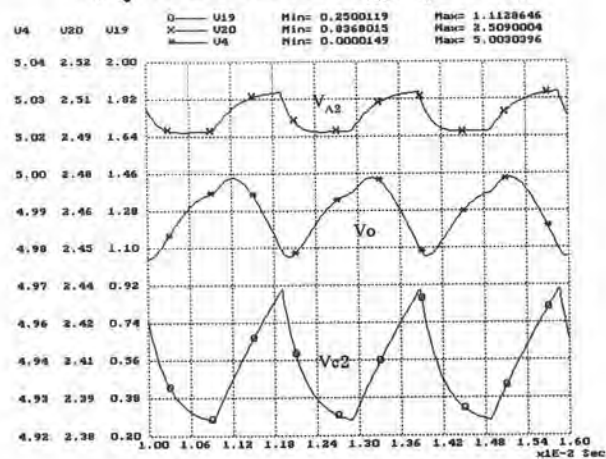


ค) รูปคลื่นของกระแส i_{L1} และ i_{L2}

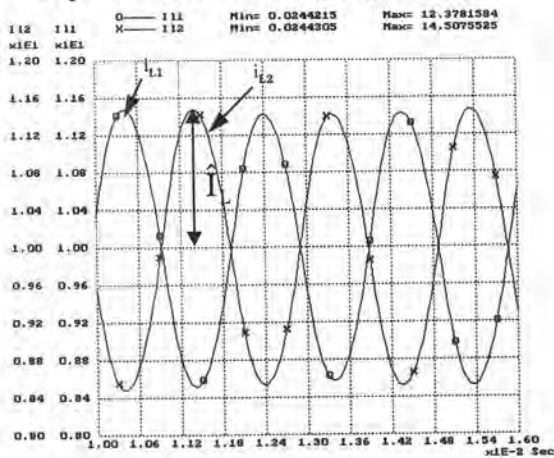
รูปที่ 3.9 รูปคลื่นของการขนานวงจรถอนระดับ 2 โมดูล ซึ่งมี $R_{L1} = R_{L2} = 40 \text{ m}\Omega$



ก) รูปคลื่นของแรงดัน V_{A1} , V_o และ V_{c1}

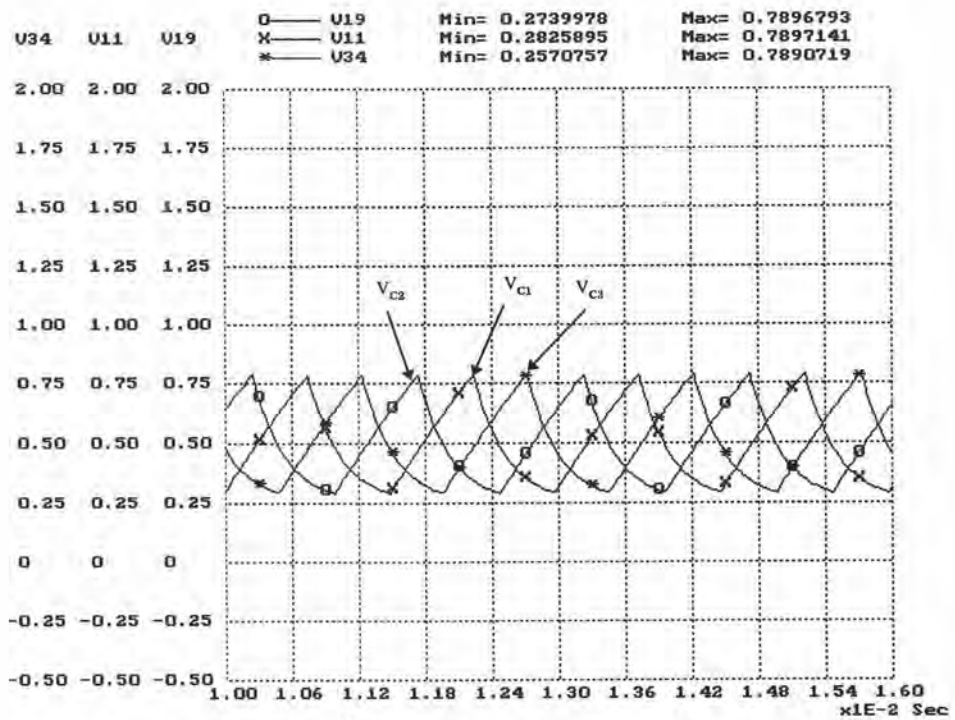


ข) รูปคลื่นของแรงดัน V_{A2} , V_o และ V_{c2}

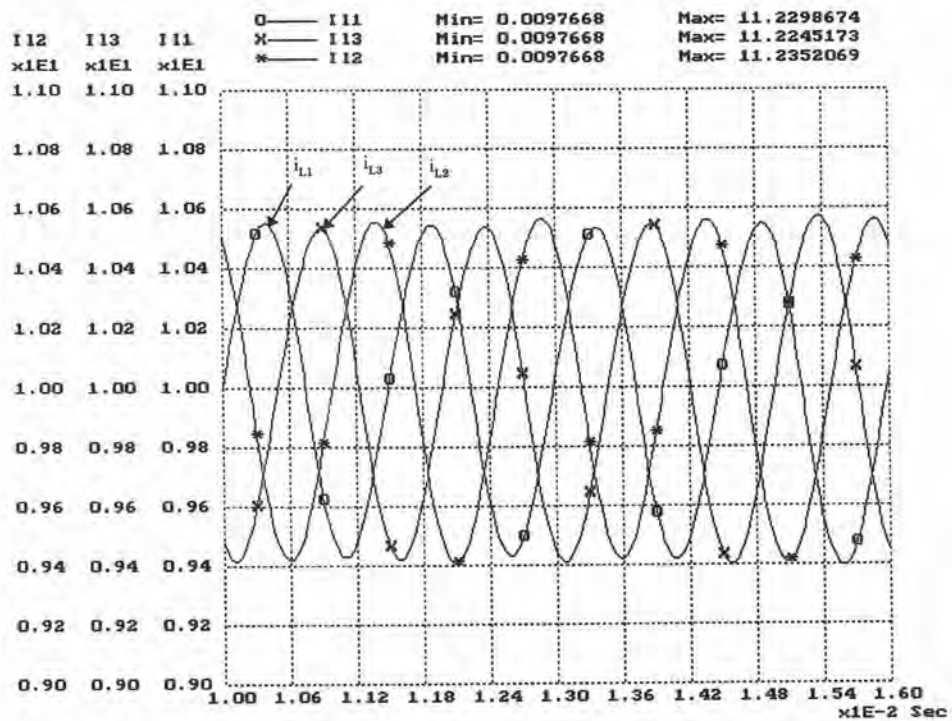


ค) รูปคลื่นของกระแส i_{L1} และ i_{L2}

รูปที่ 3.10 รูปคลื่นของการขนานวงจรทอนระดับ 2 วงจร
ซึ่งมี $R_{L1} = 40 \text{ m}\Omega$ และ $R_{L2} = 10 \text{ m}\Omega$



ก) รูปคลื่นของแรงดัน v_{c1} , v_{c2} และ v_{c3}



ข) รูปคลื่นของกระแส i_{L1} , i_{L2} และ i_{L3}

รูปที่ 3.11 รูปคลื่นของการขนานวงจรทอนระดับ 3 วงจร

ซึ่งมี $R_{L1} = R_{L2} = R_{L3} = 40 \text{ m}\Omega$